

Technogenic radiations which cause global changes and deterioration in health of the population

V. Korniienko, M.Turkin, Academy of diagnostics, Odessa, Ukraine, E-mail: kornie@ukr.net

In article it is shown that matter has the quantum electromagnetic field (QEF). Therefore the annex to matter of forces of any origin, tension and indignation of her QEF in a wave mode of quantum electromagnetic energy (S-radiations) cause in it. Therefore all space bodies generate S-radiations which on Earth are known as geopathgic radiations. Have established also that properties of S-radiations cause ability of electrical machines and other equipment to generate technogenic S-radiations to the environment. It has caused the hidden processes as a result of which there are global changes and deterioration in health of the population. It is offered to exclude on the basis of standards emission of S-radiations from the world equipment that will stop these processes.

Техногенные S-излучения, которые обуславливают глобальные изменения и ухудшение здоровья населения

В.Корниенко, Академия диагностики, Одесса, Украина, E-mail: kornie@ukr.net

В статье показано, что материя имеет квантовое электромагнитное поле (КЭП). Поэтому приложение к материи сил любого происхождения, вызывают в ней напряжения и возмущение её КЭП в виде волн квантовой электромагнитной энергии (S-излучений). Поэтому все космические тела генерируют S-излучения, которые на Земле известны как геопатогенные излучения. Установили также, что свойства S-излучений обуславливают способность электрических машин и другой техники генерировать в окружающую среду техногенные S-излучения. Это обусловило скрытые процессы, в результате которых происходят глобальные изменения и ухудшение здоровья населения. Предложено на основе стандартов исключить выброс S-излучений из мировой техники, что остановит эти процессы.

1. Введение

Исследователи давно обнаружили, что из-под земной поверхности прямыми полосами выходят потоки геопатогенных излучений (ГИ), пересечения которых образуют густые сети, которые охватывают весь Земной шар и сквозь все перекрытия многоэтажных зданий уходят ввысь, [1]. Однако, происхождение ГИ неизвестно, поэтому, не смотря на многочисленные публикации, физики считают, что их существование не доказано,

Не известно учёным также происхождение S-излучений, которые, как мы впервые обнаружили, генерирует любая материя в ответ на приложения к ней сил различного происхождения, [2,3]. Поэтому очевидно, что излучения эти исходят из недр любой напряжённой материи.

Вместе с тем, согласно Теории относительности Эйнштейна, материя состоит из потоков заряженных элементарных частиц, [4]. В соответствии с законами электродинамики, взаимодействие этих энергий образуют квантовое электромагнитное поле материи, [5-8], существование которого экспериментально не подтверждено.

Результаты наших экспериментальных исследований свидетельствуют, что генерирует S-излучения не материя, а упругое квантовое электромагнитное поле (КЭП), образованное потоками заряженных элементарных частиц, из которой состоит эта материи. Поэтому мы выдвинули гипотезу о том, что S-излучения являются волнами электромагнитной энергии элементарных частиц. Это не нарушает Закон сохранения энергии что, применительно к электромагнитному полю, доказано в теореме Пойтинга, (Poynting's theorem), [9].

В статье также раскрыта физика происхождения космических S-излучений, разновидностью которых являются ГИ, а также экспериментально доказано, что электрические машины и любая техника генерирует техногенные S-излучения, выброс которых в окружающую среду в решающей степени влияет на происходящие глобальные изменения.

Обнаруженные нами свойства S-излучений свидетельствуют, что ими заполнена всю Вселенная в огромном количестве, что обуславливает существование спектра S-излучений, происходящие явления в котором имеют для человечества жизненно важное значение.

Так, в сборнике рефератов Всемирной конференции по изменению климата, Москва, 2003, опубликовано наше сообщением о том, что в спектре S-излучений летом того же года мы наблюдали прибытие на Землю из Космоса квантового энергоинформационного поля (ЭИП). Анализ его свойств показал, что это ЭИП оккупировало Землю и Солнце, а его воздействие ускорит глобальные изменения климата и ухудшит здоровье населения, [10]. Как показало время, этот прогноз полностью подтвердился, [11,12].

Кроме того, мы установили, что выброс S-излучений из техники обуславливает рост ЭИП и тем самым ускоряет все глобальные изменения, что чревато многими бедствиями. Поэтому только ликвидация S-излучений в мировой технике на основе стандартов позволит остановить глобальные изменения и предотвратить многие бедствия.

2. Результаты наших исследований

2.1 Методика

Для экспериментальных исследования мы использовали прибор ГРВ-компакт, который серийно выпускается в России и аттестован для проведения медицинских и научных исследований. Принцип его работы основан на изменении площади электрического разряда в газоразрядной камере прибора под воздействием на него S-излучений. Однако, это прибор дискретного действия и с его помощью определить место нахождения источника S-излучений, в том числе и ГИ невозможно. Поэтому методика предусматривала участие в экспериментах эксперта-сенсора, который по ощущениям в

ладони определял наличие S-излучений, исходящих от ЭИП или других объектов, что позволяло ориентировать датчик прибора в нужном направлении.

Прибор этот в заводской комплектности не позволяет проводить замеры в режиме реального времени. Поэтому мы использовали закон открытый нами «острых кромок», согласно которому S-излучения выходят из напряжённой материи через её заостренные кромки. По этой причине образцы деревянной линейки и стальной стамески, которые мы использовали в экспериментах, имели заострения.

С целью ускорения процесса исследований мы разработали к этому прибору специальный излучатель S-излучений, выполненный в виде медного кольца, в котором один торец заострен, которое установили над газоразрядной камерой прибора ГРВ-компакт. При этом заострение кольца было направлено в сторону этой камеры. Кольцо было соединено экранированным электрическим проводом с датчиком, который представлял собой пластину из бериллиевой бронзы (20x20x0,5 мм).

Измерения осуществлялись прибором ГРВ-компакт в автоматическом режиме, без присутствия людей. При этом параметры газового разряда в камере прибора фиксировала видеокамера. Количество импульсов в серии мы устанавливали от 30 до 40. Время между импульсами – 3 сек. При наличии резких отклонений в совокупности выборки, 1-2 результата исключались из расчётов. Результаты математической обработки оценок видеосъёмки в виде диаграмм и таблиц, выдавал компьютер, подключенный к прибору. Рассчитывались они по программе с использованием методов математической статистики и теории вероятностей с 95% достоверной вероятностью.

Для оценки S-излучения, которые генерировала деревянная линейка (650 x 20 x 6 мм) в результате её сжатия в тисках, вблизи одного из её концов она имела заострение в виде лезвия. Длина заострения – 30 мм. Датчик размещался от линейки на расстоянии около 80 мм в направлении этого заострения. Во время эксперимента конец плоской стороны линейки, противоположный тому, где было заострение, зажимался в тисках (усилие завинчивания винта тисков -10 Н x м). При сжатии линейки S-излучения выходили из её заострения, которые оценивал прибор.

Оценивали мы также S-излучения, которые генерировала при сжатии сталь столярной стамески (150 x 20 x 5 мм), а также пластины из бериллиевой бронзы (110x20x0,5 мм). При этом датчик размещался на расстоянии 80 мм от лезвия стамески, откуда исходил поток S-излучений. Стамеска сжималась в тисках за сторону 20 мм. Момент зажима тисков -10 Н x м.

Для исключения влияния ЭИП на результаты экспериментов, которое имеет способность отсасывать S-излучения из любого источника, перед их началом в течение 1-2 минут мы проводили очистку здания от ЭИП. Для этого использовалась трансляция записанной на магнитную ленту произнесённой фразы: «Тебя нет, не существует, рассейся». Этого хватало, чтобы очистить от ЭИП помещение на 30-40 минут. Контроль присутствия и появления ЭИП осуществлял эксперт по ощущениям в ладони.

Для оценки S-излучений, которые генерируют антенны сотовой связи, в качестве приёмного устройства была использована трубка из органического стекла, диаметр которой

составлял 40 мм с осевым отверстием диаметром 10 мм. В конце трубки был установлен миниатюрный микрофон, выводы которого были соединены с динамиком через магнитный усилитель. Для исключения передачи электромагнитных волн сотовой связи, динамик, через магнитную развязку, был соединён одножильным проводом с описанным выше кольцом, которое устанавливалось над камерой прибора ГРВ-компакт.

Трубка эта устанавливалась на штативе на расстоянии 30 метров от антенны сотовой связи и была нацелена на неё. Замеры уровня S-излучений, которые исходили из антенн сотовой связи, проводились с помощью прибора ГРВ-компакт в двух режимах. Первый - обычный режим работы антенны. Второй – с подключенным нейтрализатором S-излучений к клеммам питания 380V рабочей станции сотовой связи, которая преобразует и передаёт сигналы на антенны сотовой связи. Нейтрализующее устройство было разработано нами на основе свойств S-излучений, эффективность которого ранее неоднократно проверялась.

Для астрономических наблюдений мы разработали направленный датчик, который отличался от описанного выше только тем, что трубка из органического стекла имела длину 300 мм, а диаметр осевого отверстия - 4 мм. Этот датчик устанавливался на монтировку от любительского телескопа и с помощью компьютерной программы наводился на небесные тела.

Эта методика позволила получать результаты оценок ГРВ с обработкой данных на компьютере в автоматическом режиме по многофакторной программе. Результат компьютер выдавал в виде диаграмм. Из этих диаграмм можно рассчитать уровень S-излучений в децибелах, как произведение 10 на отношение десятичных логарифмов средних значений текущего и базового значений S-излучений в пикселях.

2.2 Экспериментальное подтверждение способности напряжённой материи генерировать S-излучения

Ниже представлены диаграммы влияния S-излучений, которые генерирует напряжённая материя, на площадь электрического разряда в приборе, полученные путём обработки на компьютере показаний прибора по многофакторной математической программе,

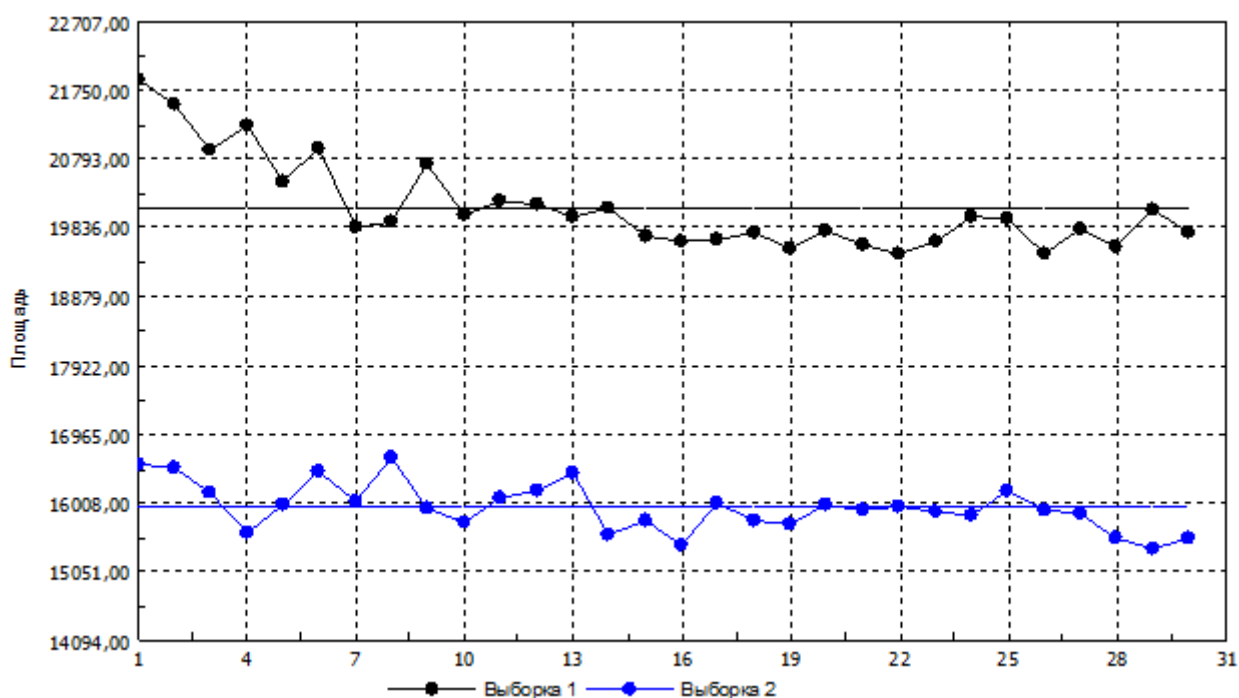


Рис. 1 Изменение площади газового разряда в приборе ГРВ–камера при сжатии в тисках деревянной линейки

Где: выборка 1 – заостренная деревянная линейка зафиксирована в тисках (без сжатия);
 выборка 2 – линейка сжата в тисках.

Представленные на рис. 1 диаграммы свидетельствуют, что в результате сжатия деревянной линейки, её материя генерирует S-излучения, которые выходят из её заострения.

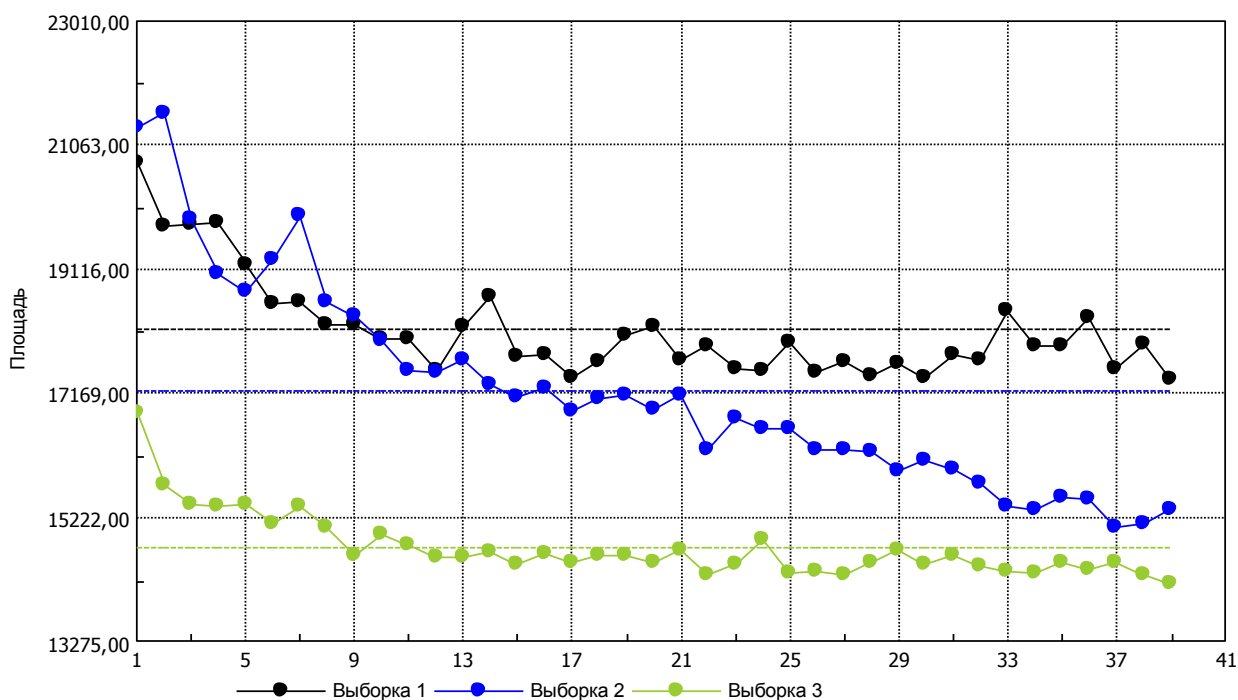


Рис. 2 Изменение площади электрического разряда в зависимости от числа напряжённых пластин из бериллиевой бронзы

Где: выборка 1 – фон S-излучений в здании; выборка 2 – S-излучения, которые генерирует материя одной изогнутой и заневоленной в таком состоянии пластины из бериллиевой бронзы; выборка 3 – то же для двух пластин.

Представленные на рис.2 диаграммы свидетельствуют, что изгиб пластин из бериллиевой бронзы порождает напряжения в её материи, в результате которых она генерирует S-излучения.

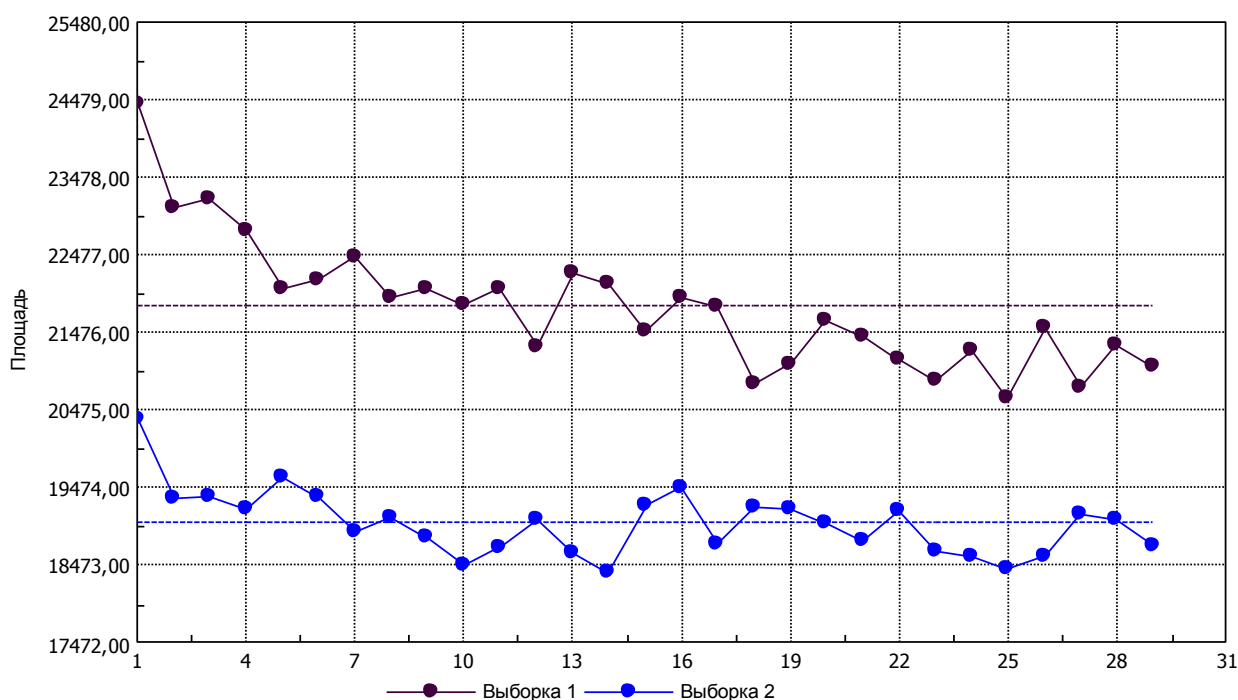


Рис. 3 Изменение площади электрического разряда в приборе под воздействием S-излучений, которые генерирует материя стальной стамески

Где: выборка 1 - стамеска зафиксирована в тисках (не сжата); выборка 2 – стамеска зажата в лабораторных тисках

Из этих диаграмм следует, что при сжатии в тисках стальной стамески, её материя генерирует S-излучения, под воздействие которых площадь электрического разряда в приборе снижается. Эти и другие результаты наших исследований свидетельствуют, что любая напряжённая материя генерируют S-излучения.

2.3. Физика происхождения S-излучений и сенсорных ощущений человека

Из диаграмм на рис. 1 и 2 следует, что при деформации деревянной линейки и пластин из бериллиевой бронзы, их материя генерирует S-излучения. Генерирует их и стальная стамеска, не смотря на то, что момент сжатия её в миниатюрных настольных тисках, которые мы использовали, не способен вызвать даже самую незначительную деформацию закалённой стали стамески.

Поэтому, чтобы понять природу возникновения S-излучений в стамеске, мысленно представим себе материю с максимально возможным увеличением. При этом, в соответствии с современными представлениями о строении материи, [4-8], окажется, что внутри неё ничего нет. Там пустота, ничтожный объём которой заполняют атомы, а всё остальное пространство занимают потоки заряжённых элементарных частиц, которые, согласно законам электродинамики, образует КЭП материи. Это КЭП заполняет материю всей стамески. При этом оно, как и любое электромагнитное поле, имеет упругость. Материя тисков также обладает упругим КЭП, поэтому при сжатии её в тисках, ещё до деформации материи стамески, происходит деформация её КЭП, в результате которой,

через наиболее слабое место этого поля, которым является лезвие стамески, поток электромагнитной энергии выходит из него в виде S-излучений.

По этой же причине, в результате сжатия в тисках деревянной линейки её КЭП также генерирует S-излучения. Однако, в отличие от материи стамески, в линейке происходит также деформация древесины. При изгибе платин из бериллиевой бронзы её КЭП также генерирует S-излучения, поток которых, ввиду отсутствия в пластинах заострения, не столь концентрирован.

Ввиду того, что, наряду с приборами мы использовали также сенсорные ощущения экспертов, рассмотрим физику их возникновения в ладони человека на предмет правомерности применения этих ощущений в исследованиях. Для этого мы провели тестирование студентов Одесского национального медицинского университета. При этом оказалось, что из 100 студентов только 15% проявляли высокую чувствительность в ладони к S-излучениям, ещё 65% ощущали их, но в меньшей степени. Остальные 20% заявили, что ничего не ощущают. Впрочем, в Одессе существуют учебные курсы, на которых такие ощущения развивают у любого человека.

Физика сенсорных ощущений основана на том, что S-излучения, как выше было установлено, состоят из электромагнитных энергий, образованных потоками заряженных элементарных частиц, которые являются основой любой материи. Поэтому воздействие S-излучений обуславливает изменения в материи его организма на уровне энергий элементарных частиц, из которых состоит его материя. В зависимости от индивидуальной чувствительности, человек ощущает S-излучений кожным покровом ладони в виде покалываний, тепла или холода. При этом, если своевременно не убрать ладонь из потока S-излучений, то в области живота возникают достаточно сильные болевые ощущения. Длительное же воздействие S-излучений, способно вызвать, как и от воздействия ГИ, органические изменения в материи организма и, как следствие, тяжёлые заболевания.

Следовательно, сенсорные ощущения S-излучений являются нормальным человеческим чувством, которое предусмотрено природой с тем, чтобы это чувство предупреждало организм об опасности. Поэтому сенсорные ощущения правомерно применять в некоторых видах физических исследований, с обязательным соблюдением правил безопасности.

2.4. Происхождение космических S-излучений, в том числе ГИ

Напряжённая материя в природе присутствует повсеместно, но в наибольшем количестве S-излучения генерирует материя Земли в виде ГИ. В ладонях экспертов ГИ вызывают такие же ощущения, как S-излучения. Кроме того, ГИ, как и S-излучения, свободно проходят сквозь любую материю. Сенсорно мы обнаружили, что генерируют S-излучения также Солнце, Луна и ближайшие планеты Солнечной системы, что неизвестно науке.

Вместе с тем, доказать происхождение космических S-излучений и ГИ предельно просто. Для этого достаточно лишь абстрагироваться и вспомнить, что все небесные тела находятся на своих орбитах только потому, что их там удерживают силы космической гравитации. Под воздействием этих, и других сил, материя этих тел испытывает

напряжения, в результате чего КЭП этой материи испытывает деформацию и генерирует потоки электромагнитной энергии элементарных частиц, которые и являются космическими S-излучениями. Земля, как и любое космическое тело, находится в таких же условиях, поэтому также генерирует S-излучения, которые известны как ГИ. Это и есть доказательство физики и происхождения ГИ и космических S-излучений. Получено нами также приборное подтверждение существования ГИ, которое показано на рис. 4.

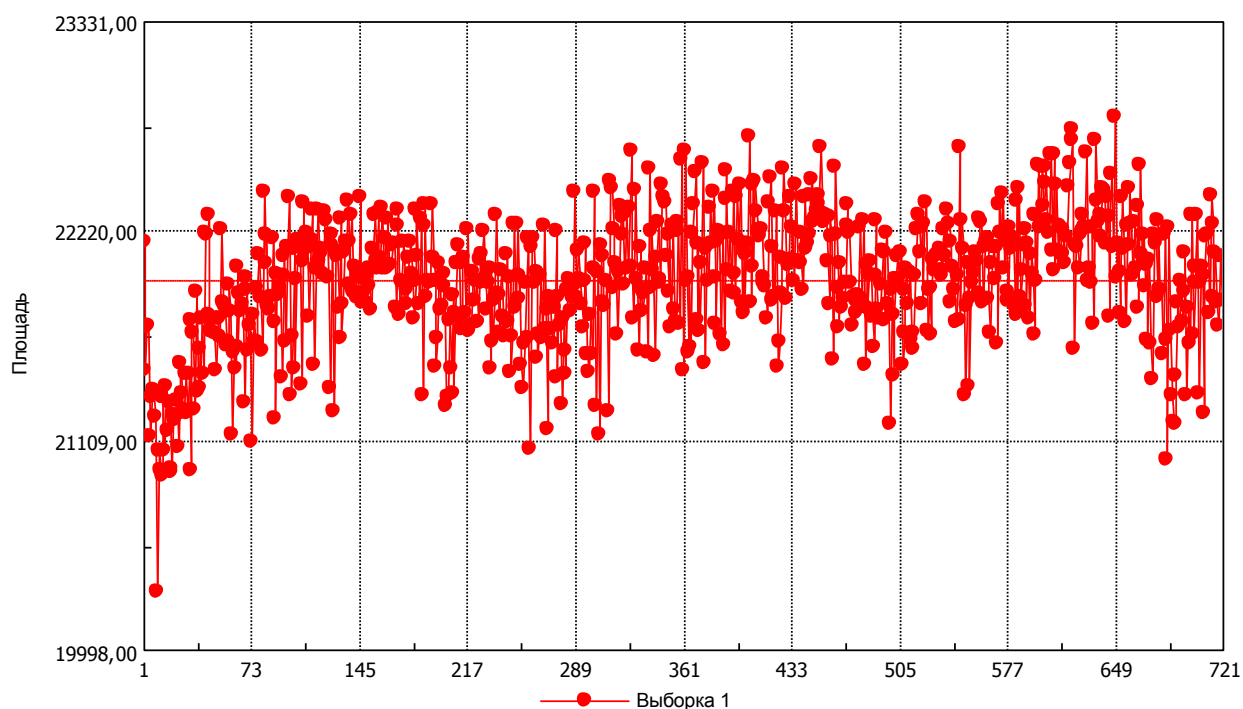


Рис. 4 Диаграмма влияния энергий ГИ на площадь электрических разрядов в приборе ГРВ-компакт в течение 24 часов (интервал между разрядами - 2 минуты)

Минимальный разброс площадей электрических разрядов в этой диаграмме свидетельствует о существовании энергий ГИ. Волновой характер их изменения обуславливают изменения в напряжённой материи Земли в результате движения Луны по орбите.

На рис. 5 представлены также диаграммы, которые подтверждают то, что космические тела генерируют S-излучения.

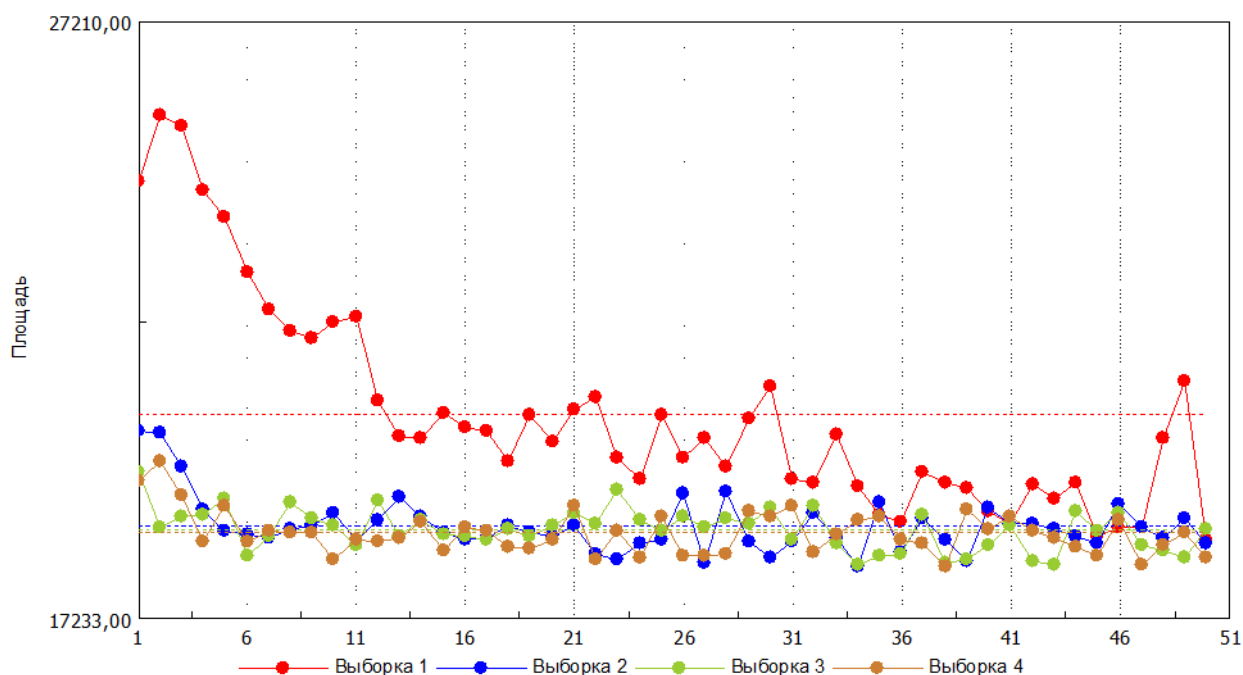


Рис. 5. Диаграммы влияния S-излучений, которые исходят из небесных тел, на площадь электрического разряда в приборе с интервалом 3 сек

Где показаны выборки: 1 - Район созвездия Овна, который выбран был в качестве фона; 2 – звезда Бетельгейзе; 3- звезда Поллукс; 4 – Луна.

При выборе объектов для оценки мы руководствовались следующим:

1. Район созвездия Овна, был принят в качестве базового фона, в виду того, что там относительно мало видимых крупных звёзд;
2. Астрономы встревожены тем, что гигантская звезда Бетельгейзе, расстояние до которой составляет 620 тыс. световых лет, взорвалась, или вскоре взорвётся, что может представлять опасность для человечества.
3. Выбор звезды Поллукс, которая находится от Земли на расстоянии 33,7 светового года, обусловлен тем, это одна из самых ярких звёзд, которые были видны во время измерений.
4. Луна – тем, что в это время было полнолуние, когда уровень её S-излучений максимальный.

Из этих диаграмм следует также, что уровень S-излучений, которые генерируют эти небесные тела одинаковый, не смотря на большие различия в мощности и в расстоянии до Земли. Вместе с тем, судя по ощущениям в ладони, от звезды Бетельгейзе идут сильнейшие S-излучения, фон от которых занимал примерно 70 градусов небосклона, в то время как фон от остальных небесных тел – не более 5 градусов. Это подтверждает высказанное ранее утверждение о том, что в атмосфере существует слой, который отражает и нивелирует уровень космических S-излучений. Измерения эти мы проводили в начале 2014 года.

2.5 Техногенные S-излучения

Раскрыть их происхождение помог случай. Однажды мой приятель, д.м.н. Бородулин С.Д., соорудил из деревянных реек каркасную пирамиду и попросил меня оценить её энергетику. Пирамида была высотой 2 метра и имела такие же пропорции, как у Египетских пирамид.

Сенсорное обследование показало, что пространство между рёбрами каждой из трёх сторон пирамиды заполнило упругое поле S-излучений, толщина которого составляла 40-50 см. Однако в четвёртой стороне поле отсутствовало. Причина оказалась в том, что рейка, которая обрамляла нижнюю часть этой стороны, оказалась короче, чем следовало, поэтому образовался зазор шириной 6-7 см в её обрамлении. После устранения зазора, в этой стороне пирамиды возникло такое же поле, как и в остальных трёх. Из этого стало понятно, что поле в сторонах пирамиды образуются в результате пересечения их потоками ГИ, т.е. земными S-излучениями. Пересекая каждую из сторон пирамиды, они наводят в рейках, которые обрамляют стороны пирамиды, потоки S-излучений, циркуляция которых и обуславливает появление в сторонах пирамиды поля S-излучений. Следовательно, на S-излучения распространяется действие закона электромагнитной индукции Фарадея.

Это позволило выдвинуть гипотезу о том, что любая электрическая машина, которая имеет ротор и статор, является генератором S-излучений. Обусловлено это тем, что при вращении ротора возникают центробежные силы, в результате которых происходит деформация КЭП его материи, вследствие чего оно генерирует потоки S-излучений. Они пересекают обмотки статора и индуктируют в них потоки аналогичных S-излучений. По этой причине генераторы электростанций вместе с электрическим током вырабатывает также S-излучения, которые вместе с ним передаются по электрическим сетям на любые расстояния. Но ввиду того, что приборов для их регистрации не существует, то это свойство электрических машин науке неизвестно.

Для проверки этой гипотезы мы заменили штатный ротор в асинхронном электродвигателе мощностью 1 кВт на другой. Он состоял из обечайки, внутри которой находились пакеты из изогнутых и заневоленных в таком состоянии пластин из бериллиевой бронзы, вследствие чего этот ротор постоянно генерировал потоки S-излучений, [13]. С помощью электрического привода мы придали этому ротору вращение, в результате чего его S-излучения стали пересекать обмотки статора и наводить в них потоки S-излучений. Поэтому подключение нагрузки к клеммам этого, (теперь уже генератора S-излучений), обусловило образование замкнутого контура для движения потоков S-излучений.

С помощью этого генератора мы открыли многие свойства S-излучений. В частности, установили, что они реагируют на полупроводники и конденсаторы так же, как электрический ток. Однако, при наличии подходящих условий, S-излучения отделяются от электрического тока и выходят в окружающую среду в виде устойчивого одноименного поля.

Следовательно, в устройствах сотовой связи и в другой высокочастотной технике, S-излучения, происходит преобразование S-излучений электрической сети в высокочастотные S-излучения. В составе радиоволн они, в соответствии со свойствами S-

излучений, выходят из антенн сотовой связи, чем загрязняют окружающую среду высокочастотными полями S-излучений.

Для проверки этого вывода мы провели эксперимент по нейтрализации S-излучений в рабочей станции сотовой связи, результат которого представлен на рис. 6. Эта станция была установлена на верхнем этаже здания завода «Промсвязь» в Одессе, к которой подключены антенны сотовой связи, установленные над крышей этого здания.

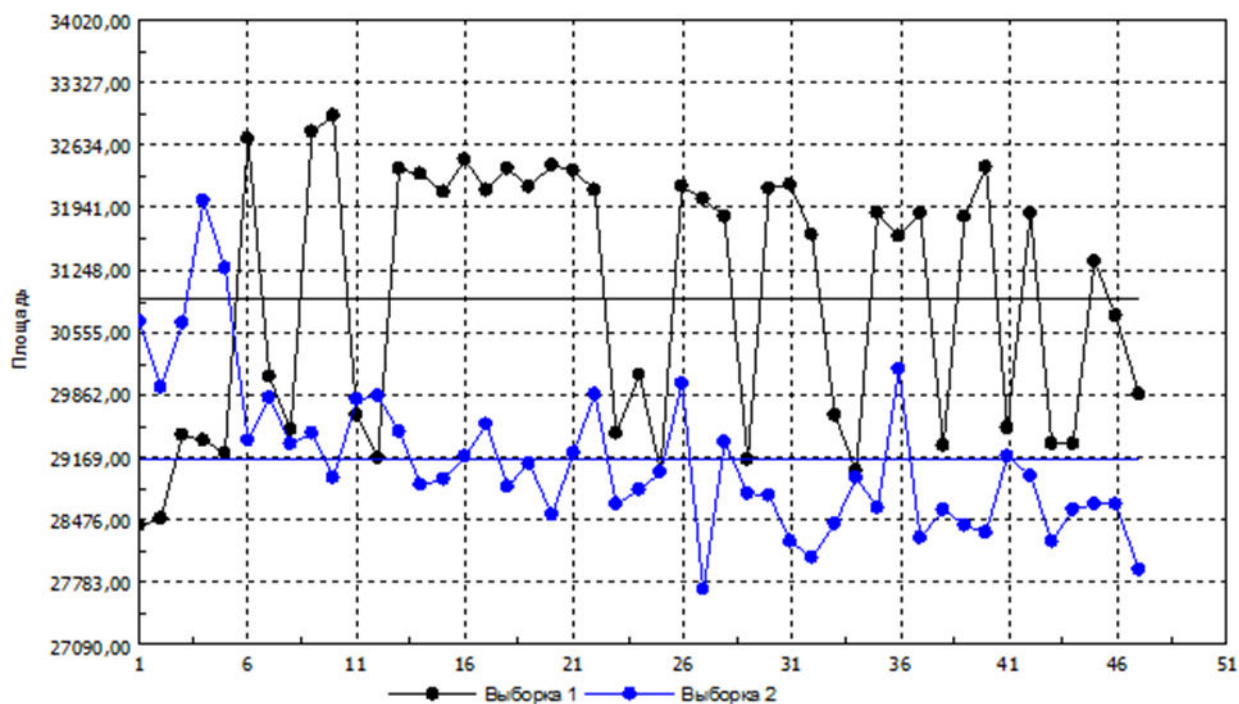


Рис.6 Влияние подключения нейтрализатора S-излучений к сети 220/380В на клеммы рабочей станции сотовой связи на уровень S-излучений, которые генерируют антенны сотовой связи

Где: выборка 1 – S-излучения, которые генерирует антенна сотовой связи после подключения нейтрализатора; выборка 2 – S-излучения, которые генерирует антенна сотовой связи без нейтрализатора

Из диаграмм на рис 6 следует, что антенны сотовой связи генерируют в окружающую среду мощные потоки высокочастотных S-излучений (выборка 2). Однако, при подключении нейтрализатора S-излучения к электрической сети станции, влияние S-излучений, которые генерирует антенна, на площадь газового разряда в приборе, снизилось (выборка 1). Эта диаграмма свидетельствует, что антенны сотовой связи генерируют S-излучения, которые можно нейтрализовать таким образом. Разброс приведенных данных обусловлен тем, что специально для этого эксперимента мы не разрабатывали нейтрализатор S-излучений, а использовали разработанный для других целей. Тем не менее, эти диаграммы свидетельствуют, что антенны сотовой связи генерируют S-излучения, которые загрязняют окружающую среду.

Нейтрализовали мы также S-излучения, которые присутствуют в бытовых холодильниках, куда они поступают вместе с электрическим током, и где их также

вырабатывает холодильный агрегат. Эти S-излучения проходят сквозь стенки холодильника и упаковку и впитываются в продукты. Для оценки их влияния на вкусовые качества продуктов были проведены межведомственные сравнительные испытания продуктов, которые хранились в двух холодильниках, к одному из которых было подключено наше устройство. Заключение всех 4-х комиссий, каждая из которых состояла из 10 квалифицированных дегустаторов, показали, что подключение к холодильнику устройства, которое нейтрализует S-излучения, улучшает вкус хранящихся в нём продуктов почти в 3 раза по сравнению с такими же продуктами из контрольного холодильника, [14]. Влияние потребления продуктов, которые насыщены S-излучениями в холодильнике, мы не проводили. Но исследователи давно установили, что воздействие ГИ обуславливает возникновение различных заболеваний, [1]. Поэтому потребление продуктов, насыщенных S-излучениями продуктов, способно вызывать различные заболевания, потому что происхождение ГИ и S-излучения ничем не отличается.

По этой же причине любая физиотерапевтическая и массажная техника, в которой используется электрическая энергия, а также компьютеры, мобильные телефоны, телевизоры и т.п. генерируют S-излучения, которые не только загрязняют окружающую среду, но и обуславливают возникновение заболеваний.

Разработали мы также простой способ, который позволяет любому человеку убедиться в присутствии в электрической сети S-излучений. Для этого достаточно проткнуть электрический провод швейной иглой, так, чтобы он оказался посередине иглы. Затем вставить зачищенный конец этого провода в фазный контакт электрической розетки и провести ладонь на расстоянии 10-15 см от иглы, в направлении её жала, что позволит ощутить исходящие из неё S-излучения, которые присутствуют в электрической сети. Обычно их ощущают в виде покалываний в кожном покрове ладони, но если задержать ладонь в потоке S-излучений более 1 минуты, то можно получить сильные боли в животе на несколько часов. Этих болей достаточно, чтобы любой скептик убедился в том, что генераторы электростанций вырабатывают S-излучения.

2.6 Свойства S-излучений

Наши исследования, проведенные, в том числе и с помощью упомянутого выше генератора S-излучений, позволили открыть многие их свойства. Ниже приведены те из этих свойств, которые имеют отношение к теме статьи:

2.6.1. S-излучения, которые вырабатывают генераторы электростанций, передаются по электрическим сетям вместе с электрическим током. При подходящих условиях они полностью отделяются от электрического тока и выходят в окружающую среду в виде поля S-излучений;

2.6.2. Электрические приборы не реагируют на S-излучения;

2.6.3. S-излучения способны переносить в своём составе тепло, а также информацию, которая влияет на состояние материи (здоровья человека), [3];

2.6.4. присутствие в электрической сети S-излучений обуславливает то, что в процессе намагничивания магнитных материалов образуется постоянный магнит, который имеет

не только общеизвестное магнитное поле, но и КЭП. При этом эти поля существуют параллельно и независимо друг от друга;

2.6.5. Наличие поля S-излучения в постоянном магните обуславливает то, что он увлекает S-излучения в кругооборот, по типу магнитных силовых линий, но отстоят они от магнита на гораздо большем расстоянии, чем магнитные силовые линии;

2.6.6. S-излучения реагируют на полупроводники точно так же, как электрический ток;

2.6.7. для S-излучений преград не существует, поэтому рост активности Солнца или любой космический катаклизм, которые сопровождаются ростом космических S-излучений, способны вызвать катастрофическую смертность населения Земли.

2.7 Энергоинформационные поля и их происхождение

Осенью 2002 г. мы сенсорно обнаружили далеко в Космосе область, которая резко выделялась на фоне ночного своими S-излучениями. Она быстро росла и летом 2003 года прибыла на Землю в виде огромнейшего ЭИП. По прибытию, основная часть ЭИП ушла на Север. Но вблизи Одессы от него отделилось три поля по 10 км в диаметре и высотой 1,5 км. Вскоре они разделились на ЭИП, диаметр которых не превышал 1,5 км. Через месяц и эти поля разделились на более мелкие ЭИП, диаметр которых не превышал 30 метров, которые гроздьями и вполне целенаправленно разлетались в разные стороны по всей Евразии и, предположительно, по всей Земле. Они зависала у антенн сотовой связи на расстоянии 40-50 метров и тонкими лучами абсорбировали из них S-излучения. При этом ЭИП не забывали лучами абсорбировать сквозь любые перекрытия зданий S-излучения из людей и бытовой техники. Мощность этой абсорбции была тогда такова, что у многих она вызывала головокружение. Но абсорбцию эту люди не ощущали, а укрыться от ЭИП не было никакой возможности. [11,12]

Тогда же мы установили, что если в сторону ЭИП, которое висит над домом, мысленно произнести фразу: «Тебя нет, не существует, рассейся», то оно мгновенно улетало. Поэтому мы пришли к выводу, что ЭИП являются невидимой высокоорганизованной формой внеклеточной жизни. Эту фразу мы записали на магнитофон и с тех пор применяем её трансляцию для очистки здания от ЭИП.

Прибытие ЭИП на Землю ознаменовалось тем, что в течение августа 2003 года в Париже и на Севере Италии, погибло свыше 70 тыс. человек. По ТВ тогда показывали, как трупы людей на улицах Парижа собирали в грузовики. Но наука решила, что погибли они от 40 градусной жары, которая стояла в это время. Причина гибели этих людей – сердечно сосудистая недостаточность. Однако свойства ЭИП дают основание полагать, что гибель людей наступила из-за абсорбции из них энергий. Жара лишь расслабила людей, что позволило ЭИП, которые в то время имели диаметр 1,5 км, без предела абсорбировать из них энергии, что и явилось причиной сердечно сосудистой недостаточности.

К концу 2004 г. ЭИП опустились из атмосферы и оккупировали здания и транспорт. С тех пор и настоящее время человечество живёт в среде этого поля, которое абсорбирует из них энергии, из-за чего многие люди тогда жаловались на нарушение сна и

головокружение. Но, постепенно эта абсорбция стала дозированной и состояние людей стабилизировалось. Позднее ЭИП слились с ГИ, откуда они абсорбируют энергии, в результате чего фокус луча ГИ, т.е. наиболее интенсивная его часть, исчезла. При этом уровень энергии ГИ стал неотличим от фона здания, который в результате этой оккупации, повысился. Сейчас эту оккупацию легко обнаружить с помощью биолокационной рамки и упомянутой выше аудиозаписи. Дело в том, что после оккупации, рамка перестала реагировать на ГИ и с её помощью теперь невозможно определять месторасположения ГИ. Ранее, до появления на Земле ЭИП, рамка вела себя следующим образом: при приближении её к лучу ГИ она отклонялась в одну из сторон. В момент пересечения центра луча, рамка отклонялась в противоположную сторону. При пересечении границы луча, рамка возвращалась в исходное состояние.

Теперь же, вследствие наличия в здании ЭИП, при приближении рамки к лучу ГИ, она отклоняется только в одну из сторон и остаётся в таком положении постоянно.

Однако, если здание очистить от ЭИП с помощью трансляции отпугивающей записи, то биолокационная рамка сразу же начинает работать как до оккупации здания ЭИП. Это и свидетельствует о наличии в здании ЭИП.

Установить факт оккупации ЭИП здания можно также с помощью прибора ГРВ-компакт. Так, на рис 7 приведена диаграмма, которая подтверждает факт оккупацию ЭИП здания. Для этого нами была применена очистка здания путём трансляция отпугивающей записи и оценка прибором ГРВ-компакт уровня энергий ЭИП и ГИ.

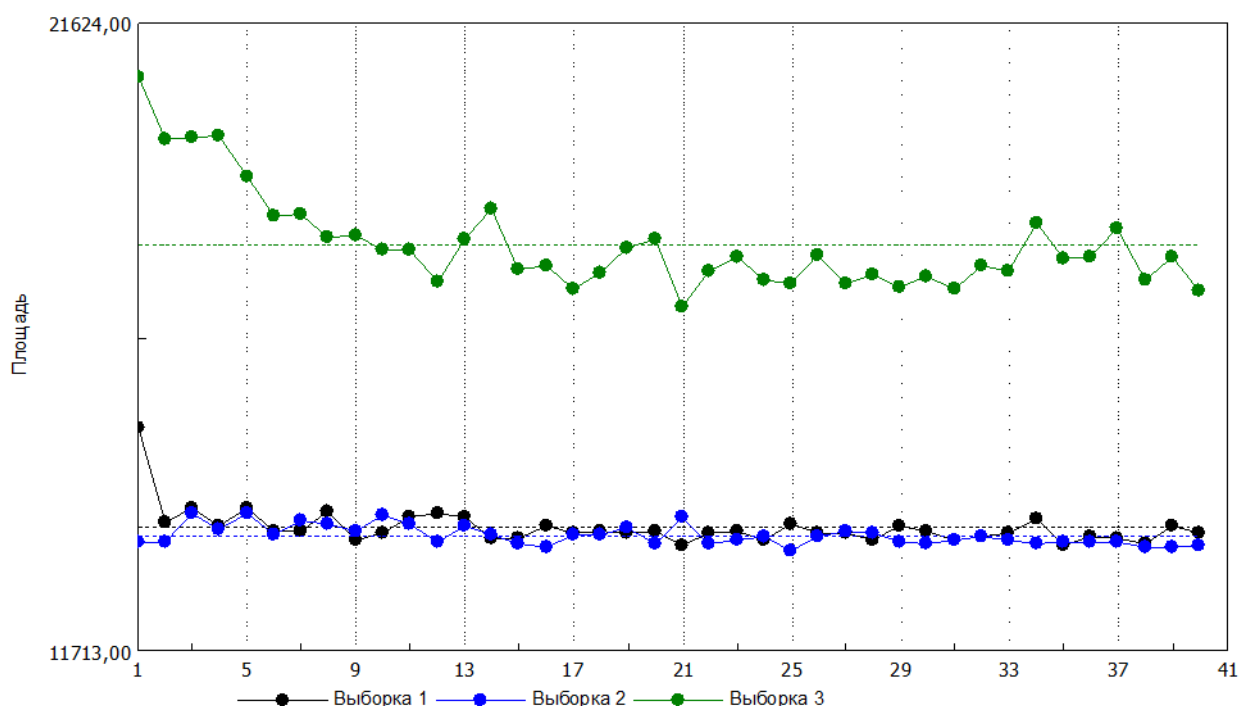


Рис. 7 Влияние очистки здания от ЭИП и ГИ на фон S-излучений в здании
 Где: выборка 1 – уровень фона здания и ГИ до очистки от ЭИП;
 выборка 2 – уровень ГИ после очистки здания от ЭИП;
 выборка 3 – уровень фона здания после очистки от ЭИП.

Из диаграмм на рис. 7 следует, что до очистки здания от ЭИП, фон его S-излучений (выборка 1), сливался с ГИ. Однако, после очистки здания от ЭИП произошло резкое снижение уровня фона здания, в результате чего его энергетика улучшается (выборка 3), но при этом уровень ГИ остался без изменений (выборка 2).

Эта диаграмма свидетельствует, что здание оккупировало ЭИП, которые поглощали энергии из ГИ. Поэтому уровень фона здания увеличился, а окружающая среда в здании стала неблагоприятной для человека. После очистки здания от ЭИП влияние фона здания на площадь электрического разряда снизилась, что свидетельствует о том, что в нём отсутствуют ЭИП, а окружающая среда стала благоприятной для человека.

До прибытия ЭИП уровень активности Солнца был очень высокий. Однако к осени 2003 он снизился до беспрецедентно низкого уровня и с тех пор до настоящего времени остаётся неизменным. При этом, согласно данным НАСА, 24-й солнечный цикл становится самым слабым за последние 100 лет, [15]. Следовательно, ЭИП оккупировало не только Землю, но и Солнце.

2.8. Последствия, которые обусловила оккупация ЭИП Земли и Солнца

2.8.1. Изменения на Солнце

После 2003 года активность Солнца резко снизилась и с тех пор остаётся на беспрецедентно низком уровне, что констатируют учёные и высказывают на этот счёт мрачные прогнозы, [15].

Вместе с тем, мы сенсорно установили, что после 2003 года корона Солнца начала генерировать кольцевые волны солнечных S-излучений, в составе которых присутствует высокотемпературное глубинное солнечное тепло. Вплоть до 2016 года эти волны шли с частотой 6 волн в минуту и достигали Земли за 30 секунд. То есть их скорость составляла 5 млн. км в секунду, что в 16,7 раза превышает скорость света. Однако замеры, проведенные 2 апреля 2017 года и позднее, показали, что скорость этих волн резко снизилась, и уже равна скорости света, а ширина фронта волны увеличился в несколько раз. При этом на всём расстоянии от Солнца до Земли расположено 3 волны, фронт каждой из которых примерно равен расстоянию между волнами, а температура солнечного тепла, которое они переносят, резко снизилась и стала едва ощутимой. Более того, по состоянию на 16.05.2017, волны короны Солнца исчезли.

Следовательно, воздействие ЭИП, которые оккупировали Солнце и «выжимают» из его глубинное тепло, способно изменять общее количество поступления на Землю солнечного тепла, а скорость распространения S-излучений способна многократно превышать скорость света.

2.8.2. Влияние ЭИП на глобальные изменения на Земле

2.8.2.1. Состояние здоровья людей

Наши наблюдения свидетельствуют, что условия жизни для людей на Земле с момента прибытия ЭИП ухудшились, потому что появились автономные ЭИП, диаметром 15-20 см. Они обладают свойством отсасывать из человека жизненно важные для него энергии,

что способно вызвать сильные боли в любом органе, либо сонливость и ухудшение общего самочувствия. Поэтому и растёт число раковых, сердечно-сосудистых и иных заболеваний. Кроме того, немало людей ощущает в постели холод и болезненные поражения кожи. Однако, если прогнать это ЭИП, то эти ощущения сразу же проходят.

2.8.2.2. Таяние полярного льда и изменение климата

Выше упоминалось, что ЭИП отсасывают энергии из ГИ. При этом, наши исследования показали, что постоянный магнит имеет свойство создавать из S-излучений, а также из ГИ поле, которое имеет свойство отражать потоки аналогичных энергий, (п. 2.6.3). С учётом того, что постоянный магнит наука рассматривает как модель магнитного поля Земли, становится ясно, что магнитное поле Земли в верхних слоях атмосферы формирует из энергий ГИ слой, который отражает космические S-излучения.

Следовательно, отсос ЭИП энергий из ГИ обуславливает дефицит этих энергий в защитном слое Земли. Поэтому отражательная способность этого слоя снижается, в результате чего космические S-излучения проходят сквозь этот слой. При этом магнитное поле Земли захватывает их и прокачивает сквозь полюса планеты. По этой причине вблизи полюсов планеты растёт концентрация космических S-излучений, потому что вода в тех районах, как и в пирамиде А.Голода, где высокая концентрация ГИ, не замерзает в любые морозы, [16]. По этой причине тает полярный лёд, из-за чего повышается уровень мирового океана и происходят глобальные изменения климата.

2.8.2.3. Причина роста числа землетрясений и взрывов вулканов

Мы разработали метод поиска углеводородов (УВ) по космическим снимкам в спектре S-излучений. Он позволил обнаружить вблизи полюсов Земли гигантские месторождения УВ, в которых происходит синтез УВ из морской воды, [17], под воздействием космических S-излучений, которые возросли под воздействием ЭИП. УВ из этих месторождений мигрируют к экватору по вертикальным глубинным разломам земной коры, как по тоннелям. По пути они пересекают все известные месторождения УВ, а также сейсмически опасные зоны и вулканы. При этом УВ глубоко проникают в трещиноватые горные породы, где их нагревает тепло Земли, что создаёт условия для преобразования УВ во взрывчатые вещества, [18,19]. Их взрывы и обуславливают рост числа землетрясений и взрывов вулканов, причиной которых является рост ЭИП.

Заключение

Приведенные в статье эксперименты подтверждают выдвинутую нами гипотезу о существовании в материи КЭП, а обнаруженные свойства S-излучений позволили:

1. доказать происхождение геопатогенных излучений;
2. доказать, что космические тела генерируют космические S-излучения, которыми заполнен вес Космос;
3. Раскрыть физику, которая обуславливает то, что электрические машины и другая техника генерируют техногенные S-излучения, выброс которых в окружающую среду негативно влияют на здоровье людей, обуславливает глобальные изменения и многие бедствия. Поэтому только ограничение на

основе стандартов S-излучений в мировой технике способно остановить эти изменения.

4. Показать, что главную опасность для здоровья космонавтов представляют техногенные и космические S-излучения, от которых их необходимо защищать на основе стандартов.
5. Снижение активности Солнца обусловила оккупация его ЭИП, воздействие которых вызывает напряжения в КЭП Солнца, в результате чего его корона генерирует волны S-излучений, которые переносят высокотемпературное солнечное тепло, что наука не замечает. Поэтому, в целях безопасности, целесообразно оснастить очередной спутник прибором, который позволяет регистрировать ЭИП.

Литература

1. Дубров А П *Земные излучения и здоровье человека.* (Аргументы и факты, Москва, 1992)
2. Корниенко В Г (*Гигиена населённых мест. Украинский научный гигиенический центр.* Выпуск 34. 1999. с.382-386)
3. Корниенко В *Излучения, вызывающие заболевания* (Изд-во Киевского ун-та, 2002)
4. Эйнштейн А (*Собрание научных трудов. В четырёх томах* (1965—1967) Том 1. — С. 685)
5. Ландау Л Д, Лифшиц Е М *Квантовая механика (нерелятивистская теория)* (Издание 6-е, исправленное. М. Физматлит, 2004)
6. Фейнман Р *КЭД — странная теория света и вещества* (М.: Наука, 1988)
7. Садбери А *Квантовая механика и физика элементарных частиц,* (М.: Мир, 1989)
8. Кейн Г *Современная физика элементарных частиц,* (М.: Мир, 1990)
9. Roymting J H *On the Transfer of Energy in the Electromagnetic Field.* (Philosophical Transactions of the Royal Society of London. 1884, 175: 343–361)
10. В Г Корниенко *Тезисы докладов Всемирной конференции по изменению климата.* (Москва, 29 сент.-3 окт.2003)
11. Корниенко В Г (*Гигиена населённых мест. Институт гигиены и медицинской экологии им. О.М.Марзеева Академии медицинских наук Украины.* Выпуск 46. 2005. с.547-554)
12. В Г Корниенко (*Гигиена населённых мест. Институт гигиены и медицинской экологии им. О.М.Марзеева Академии медицинских наук Украины.* Выпуск 49. 2007. с.246-251)
13. Корниенко В Г (*Эниология.* № 4 2005. с.81-86)
14. Корниенко В Г, Красновский И Н, Кудашов С Н. (Молочное дело №7 2007 стр. 22-25)
15. О солнечной активности <http://www.vseneprostotak.ru/2011/06/nasa-u-solntsa-padenie-solnechnoy-aktivnosti/>
16. Почему вода в пирамиде А.Голода не замерзает? <https://otvet.mail.ru/question/187551682>
17. Черных Н Г *Наука в нефтяной и газовой промышленности* №4, 2010, с.15-21)
18. Иванов Б.А. *Физика взрыва ацетилена,* (М., Химия, 1969)

19. Орлова Е Ю *Химия и технология бризантных взрывчатых веществ*, (Л. Химия, 1973)